

Będzie nam potrzebny gradienty i hody jedynie badaniem cyfrowali

[WIS] [27.05.2020]

Wniosek 34 Niech  $f \in C^p(\Omega)$ ,  $p > N$ . Wtedy dla wszystkich  $f \in C^k$  nadprostrstworstwa  $\{u \in C^k \mid \text{podpar } k \geq k\}$  ma bierz klasy  $C^{1,\alpha}$  dla  $\alpha < (p-N)/p$  pora zbioru otwartym  $\Sigma$ , który ma wymiar Hausdorffa nie przekraczający  $N-1$ . Ponadto, jeśli  $p = \infty$  to bierz jest klasy  $W^{2,p}$  pora  $\Sigma$  dla wszystkich  $p < \infty$  i jest klasy  $C^{1,1}$  gdy  $N=2$ .  $\square$

Przechodimy do dowodu zasadniczego tw. Zauważam, że za nielimitu  $\int_{\Sigma} C^k$  jest i dobitadniczy do zbioru  $N-1$  wymiarowy mierz Hausdorffa zero. - DLACZEGO TAK JBST!?

Niech  $E_i = \{u \in C^k \mid \Sigma_i \text{ bierz obrotu otwartym}$   
lang we wniosku 34. Pokazujemy, że dla wszystkich  $f_1 \neq f_2$  mamy

$$\mathcal{H}^{N-1}(\partial E_{f_1} \cap \partial E_{f_2}) \geq 0 \quad (69)$$

Zauważmy, że tak nie jest dla pewnych  $f_1, f_2$  i niedk  $x \in \partial E_{f_1} \cap \partial E_{f_2}$ . Możemy założyć, że  $x$  nie należy do  $\Sigma_{f_1} \cup \Sigma_{f_2}$ . Kamocz wn 34 w otoczeniu  $x$  oba zbioru  $\partial E_{f_1}$  i  $\partial E_{f_2}$  są gładkimi powierzchniami (klasy  $W^{2,p}$ ), dlatego możemy przedstawić zbioru  $\partial E_{f_i}$  jako wykresy  $\sigma_i$  f. klasy  $W^{2,p}(U)$ ,  $i=1,2$ , gdzie  $U$  jest otoczeniem  $x$  w przestrzeni otoczenia do  $\partial E_{f_i}$  w  $x$ , która jest isomorfizm z  $\mathbb{R}^{N-1}$ . Następnie kroki to

rownanie Belmana - Lagrange'a f. (53)  
 korzystając z tego, że  $\mathbb{R}^n$  jest wykresem  
 funkcjonal. możemy zapisać następująco

$$F(\omega) = \int_U \sqrt{|\nabla \omega|^2 + 1} + \frac{1}{2} \int_{\mathbb{B} \cap \mathbb{B}_x(\mathbb{B})} (t - f(y, \omega)) dy$$

zatem jeśli liniami przywrócić  $F(\omega + h) - F(\omega)$ , to

$$\int_U \frac{\nabla \omega \cdot \nabla h}{\sqrt{|\nabla \omega|^2 + 1}} dy + \frac{1}{2} \int (t - f(y, \omega)) h dy$$

relacja, że  $h$  ma  $U$  nożnicami zwarty  
 możemy całkować przez całość, dostajemy wtedy

$$\int_U h \left( -\operatorname{div} \left( \frac{\nabla \omega}{\sqrt{|\nabla \omega|^2 + 1}} \right) + \frac{1}{2} (t - f(y, \omega)) \right) dy = 0$$

$$\text{tj.} \quad -\operatorname{div} \left( \frac{\nabla \omega}{\sqrt{|\nabla \omega|^2 + 1}} \right) + \frac{1}{2} (t - f(y, \omega)) = 0 \quad (61)$$

Dla  $t_1 < t_2$  lemat 33 daje iż  $\mathbb{B}_{t_2} \subset \mathbb{B}_{t_1}$   
 tzn  $v_2 \geq v_1$ .

Zależy nam na punktowym zinterpretowaniu (61) (62).

Zanim przekonamy się, że to jest możliwe pokażemy, co  
 daje możliwość punktowego zinterpretowania. (63)

Mamy mianowicie, że  $v_1(x) = 0 > v_2(x)$ , bo wybieramy  
 $v_1$  i  $v_2$  może sobie odpowiednio przesunąć. Ponadto

$\nabla v_1(x) = \nabla v_2(x) = 0$ , bo wybieramy  $v_1$  i  $v_2$  są styczne  
 do  $\mathbb{R}^N \times \{0\}$ , bo taki jest wybór układu współrzędnych.

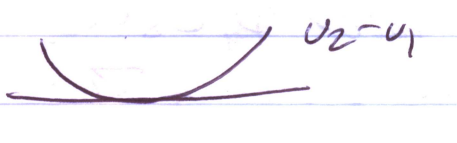
Zatem odejmując stronami (61) dla  $i=1, 2$  dostaniemy

$$\Delta v_1(x) - \Delta v_2(x) = \frac{t_2 - t_1}{2} > 0$$

co przez nierówność  $\Delta v_2 \geq \Delta v_1$  daje  $v_2 \geq v_1$ .



bo jeśli  $v_2 - v_1 \geq 0$  i  $v_2(x) = v_1(x)$  i  $\rho_0(x) = \rho_0(x) \Rightarrow$

 to  $\Delta(v_2 - v_1) \geq 0$ .

Zwracam uwagę, że nasza teraz mowa, że coś zachodzi p.w. względem miary  $\mu^{N-1}$ !  
Zacznijmy od ważnego przykładu

Tw 35 Federera - Wolperta

Jeśli  $u \in BV(\Omega)$ , to zbiór nieciągłości  $S_u$  jest co najwyżej przeliczalną samą hiperpłaszczyzną  $\mathbb{R}^N$  i zbiorem miary zero względem  $\mu^{N-1}$ . Ponadto  $\mu^{N-1}(S_u - J_u) = 0$

Zatem dla p.w.  $x \notin J_f$ ,  $f \in BV(\Omega)$  jest punktem Lebesgue'a  $f_x$ . Musimy zastanowić się nad istnieniem pochodnych punktów, zwracam uwagę, że funkcje  $v \in W^{2,p}(\Omega)$  i lepiej niż nic da. Ponadto zbiór pochodna  $Df_x$  ma nie odnieść do pochodnej punktowej, drastycznym przykładem jest funkcja Cantora;  $f \in Df_x$  jest miarą osobliwą, ale  $\frac{df}{dx} = 0$  p.w. Potrzebne jest nowe pojęcie

Def 9 Niech  $u \in L^1(\Omega)$  i  $x \in \Omega \setminus S_u$  powiedmy, że  $u$  jest aproksymatywnie różniczkowalne w  $x$  jeśli istnieje wektor  $L \in \mathbb{R}^N \subset \mathbb{R}^M$  t.j.

$$\lim_{\rho \rightarrow 0} \frac{1}{|B(x,\rho)|} \int_{B(x,\rho)} \frac{|(u(y) - u(x)) - L(y-x)|}{\rho} dy = 0 \quad (62)$$

$L$  jest wyznaczone jednoznacznie, jest oznaczane symbolem  $\nabla u(x)$ , zbiór punktów aproks. różnicka, t.j.

odnotujemy bez dowodu zasadnicze postawienie

Tw 36 Niech  $u \in L^1(\Omega)$ , zbiór  $D_u \subset \Omega \cup S_u$

jest borelowski a aproksymatyczna pochodna

$D_u: D_u \rightarrow \mathbb{R}^N$  jest funkcją borelową,

choćby  $v_1, v_2, v_3$  z przestrzeni  $W^{2,p}$ , to wygodniej  
jest nam mówić o ich aproksymatycznych pochodnych  
z punktu widzenia teorii przestrzeni BV, ktoroy  
dla nas fakt to:

Tw 37 Calderona - Zygmunda

Jeśli  $u \in BV(\Omega)$ , to pochodna aproksymatyczna  
istnieje p.w. wzd  $L^N$  w  $\Omega$ , to więcej pochodna  
aproksymatyczna  $D_u$  jest gęstością borelowej  
ciągłej względem  $L^N$  części  $D_u$ ,

$$D_u = \nabla u \chi_{L^N} + \text{ID}u_S$$

Możemy teraz przejść do (szkieletu) dowodu tw 31  
głoszącego:

Jeśli  $u \in BV(\Omega)$  jest p. minimalnym funkcjonalu

$$E_{\alpha, \beta}(u) = \int_{\Omega} |Du| + \frac{1}{2\alpha} \int_{\Omega} (u - \beta)^2 dx \quad \beta \in L^{\infty}(\Omega),$$

to dla danego  $t$ , zbiory  $\{u > t\}$  i  $\{u < t\}$   
są maksymalnym (minimalnym) normiezanym  
zgodniem podzestawienia minimalnej

$$\min_{B \subset \Omega} P(B, \Omega) + \frac{1}{2} \int_B (t - f(x)) dx \quad (59)$$

Dowód zaczniemy od wyprowadzenia, dla czego do  $t$ ,



pony unikolismy jakiejś kolumny w macierzy  $A$ ,  
 równań  $E \cdot h$  zgodna z minimalną  $f, B_{\text{rot}}$   
 na wyrażenie  $\nabla^2 u$  nie sportwertuje, że  
 $B_{\text{rot}}$  jest samą kolumną różniczkową  
 w sensie Gateau  $\int (u - f)^2$  i ugot co nie  
 ma sensu na  $n$  różniczkowości,  $f$

§ 10al. Rys. Rysunek podpowiada,  
 że  $\Omega$  w każdym punkcie wykres  $f$ .  
 wypukłej ma pierzynę podpierającą. Zauważamy  
 że punkt minimalny można charakteryzować  
 izolacją i talem hiperplanów powłok,  
 ubieramy to w dowód.

**Def 10** zaidimy, że  $\psi: H \rightarrow \mathbb{R} \cup \{+\infty\}$  jest  
 wypukła,  $H$  - Hilberta,  $u \in D(\psi) = \{x \in H, \psi(x) < \infty\}$   
 kłademy

$$\langle \psi'(u), h \rangle = \lim_{t \rightarrow 0} \frac{\psi(u+th) - \psi(u)}{t} \geq \langle z, h \rangle$$

Widzimy, że podpierająca  $\psi$  w punkcie  $u$ ,  
 geometrycznie jest to zbiór hiperplanów  
 podpierających.

**Stw 38** Jeśli  $\psi: H \rightarrow \mathbb{R} \cup \{+\infty\}$  jest wypukła  $\psi \neq +\infty$   
 i jest dolnie półciągła, to podwójnie  
 wtrnie (dowód pomijamy).

Mówimy teraz o charakterystyce p. minimalnej

**Stw 39**  $\psi$  j.w. Wtedy  $z$  jest p. minimalny w  $\psi$   
 w.t.w.  $0 \in \partial \psi(z)$

D.: Niech  $z_0$  będzie p. minimalnym, wtedy  $\psi(z_0+h) \geq \psi(z_0)$   
 wtedy  $0 \in \partial \psi(z_0)$ .  
 Jeśli  $0 \in \partial \psi(z_0)$ , to  $\psi(z_0+h) - \psi(z_0) \geq \langle 0, h \rangle = 0$ .  $\square$

Chcąc byśmy odnieśli się do sytuacji, której rozważamy  
 zainicjujemy, że  $\mathbb{F}_{Roz} = \phi(Cu) + F(Cu)$ , gdzie  
 $\phi(Cu) = \int_{\Omega} |Du|$ ,  $F(Cu) = \frac{1}{2} \int_{\Omega} (Cu - g)^2 dx$

sz hipotezie i postępie z dan na BV w normie  $L^2$ .  
 Ponadto  $\mathbb{F}$  jest równoważne w sensie Gâteaux.  
 Wówczas mamy

Wniosek 40  $\partial \mathbb{F}_{Roz}(Cu) = \partial \phi(Cu) + DFCu$

$D$  jest oczywiście

popatrzmy na  $\partial \phi(Cu)$  przedstawia niebrzmący argument